

京都大学防災研究所 正員・山下 隆男  
 ノ・土屋 義人  
 北海道開発局 ノ・石井 一生

1. 緒言 高潮・津波に関する数値計算は、大型計算機の普及に伴って、活発に研究が行われるようになり、種々の数値モデルや計算手法が開発されてきた。計算手法では Navier-Stokes の方程式に基づいた基礎式を差分法あるいは有限要素法を直接適用する方法がほとんどであり、これらによってかなりの再現性が期待されることがわかつた。著者らは数年来、高潮の数値予知法について、従来行われてきた単層モデル（1レベルモデル）を基準として、それを発展させた2レベルモデルおよび差分法と有限要素法とを結合させた有限要素-差分モデル（以下、FE-FD モデルとよぶ）を開発して予知精度の向上を模索してきた。ここでは、高潮の数値計算において解決されなければならない点および前述の3モデルによる伊勢湾および工佐湾における高潮の追算結果について考察する。

## 2. 高潮数値モデル 本研究で用いた数値モデルの基礎式は、以下のように要約される。

1) 1レベルモデル 鉛直方向に積分平均化した流速成分 ( $U, V$ ) および流量 ( $M, N$ ) を用いて、次のように表わされる。

$$\left. \begin{aligned} \partial M / \partial t + \partial(UM) / \partial x + \partial(VM) / \partial y &= -g(R+D)(\partial U / \partial x + \partial P / \partial x) + fN + (T_{sx} - T_{ex}) / \rho_w + \nu_H (\partial^2 M / \partial x^2 + \partial^2 M / \partial y^2) \\ \partial N / \partial t + \partial(UN) / \partial x + \partial(VN) / \partial y &= -g(R+D)(\partial V / \partial x + \partial P / \partial y) - fM + (T_{sy} - T_{ey}) / \rho_w + \nu_H (\partial^2 N / \partial x^2 + \partial^2 N / \partial y^2) \\ \partial U / \partial t + \partial M / \partial x + \partial N / \partial y &= 0 \end{aligned} \right\} \quad (1)$$

2) 2レベルモデル レベル分割水深を  $h_i$  として、境界面での流速成分を  $(U_i, V_i, W_i)$  とすると、上、下位層については、 $x$  方向の表示のみを示すと、以下のようにある。

$$\left. \begin{aligned} \partial M_1 / \partial t + \partial(U_1 M_1) / \partial x + \partial(V_1 M_1) / \partial y + U_1 W_1 &= -g(R+h_i)(\partial U_1 / \partial x + \partial P_1 / \partial x) + fN_1 + (T_{sx} - T_{ex}) / \rho_w + \nu_H (\partial^2 M_1 / \partial x^2 + \partial^2 M_1 / \partial y^2) \quad \text{上位層} \\ \partial M_2 / \partial t + \partial(U_2 M_2) / \partial x + \partial(V_2 M_2) / \partial y - U_1 W_1 &= -g(R-h_i)(\partial U_2 / \partial x + \partial P_2 / \partial x) + fN_2 + (T_{sx} - T_{ex}) / \rho_w + \nu_H (\partial^2 M_2 / \partial x^2 + \partial^2 M_2 / \partial y^2) \quad \text{下位層} \\ \partial U_1 / \partial t + \partial(M_1 + M_2) / \partial x + \partial(N_1 + N_2) / \partial y &= 0 \end{aligned} \right\} \quad (2)$$

ここで、 $M_i = (R+h_i)U_i = \int_{h_i}^{R+h_i} u \, dx$ ,  $M_2 = (R-h_i)U_2 = \int_{R-h_i}^R u \, dx$ ,  $f$ : Coriolis 係数,  $T_s, T_e$  および  $T_b$  はそれぞれ、海面、境界面および海底におけるせん断応力,  $\nu_H$ : 水平渦動粘性係数であり、各せん断応力は、 $T_s = \rho_a C_D \vec{W} / | \vec{W} |$ ,  $T_e = \rho_a f_i \vec{U}_e / | \vec{U}_e |$ ,  $T_b = \rho_a f_b \vec{U}_b / | \vec{U}_b |$  で表わされる。

3) FE-FD モデル 鉛直方向全水深  $R+l_k$  を  $3:4:3:1$  に分割し、各節点における流速成分  $(\hat{U}_k, \hat{V}_k)$  が残差がゼロとなるように Navier-Stokes 方程式を満足する解  $(U_k, V_k)$  を求め、次に鉛直方向に積分平均化した連続式（式(1)の第3式）により、水位変動  $l_k$  を差分法で求める方法で、基礎方程式としては以下のようないわゆる表示である。

$$\left. \begin{aligned} L_x(\hat{U}_k, \hat{V}_k) &= \partial \hat{U}_k / \partial t + \hat{U}_k \partial \hat{U}_k / \partial x + \hat{V}_k \partial \hat{U}_k / \partial y - f \hat{V}_k + g \partial l_k / \partial x - \nu_H \partial^2 \hat{U}_k / \partial x^2, \quad L_x(U_k, V_k) = 0 \\ \partial U_k / \partial t + \partial M / \partial x + \partial N / \partial y &= 0 \end{aligned} \right\} \quad (3)$$

ここで、 $M = \sum U_k l_k$ ,  $N = \sum V_k l_k$ ,  $l_k$ : 分割水深であり、各節点においてせん断応力は流速の勾配に比例するとして、 $T_b = \nu_H (U_{k+1} - U_k) / l_k$  で与えられ、特に海面においては、 $T_b = \rho_a C_D \vec{W} / | \vec{W} |$  とする。

以上、3モデルにおいて決定すべき未知定数を整理すると、次のようである。

1レベルモデル：摩擦係数 ( $C_D, f_b$ ), 2レベルモデル：( $C_D, f_i, f_b$ ),  $f_i/k$ , FE-FD モデル：( $C_D, \nu_H$ )

これらの未知定数の決定は、モデルの特性を左右する重要な要因ではあるが、それ以外にも検討しなければならない点として、高潮の外力である風成場の評価法と計算対象領域（海底地形、境界線）の的確な再現性が挙げられる。

3. 高潮の追算 以上のようなモデルの検討事項を考慮して、台風7010号による工佐湾の高潮および伊勢湾台風による伊勢湾・三河湾の高潮の追算を試みた。前者の高潮は、気象庁で行われた追算結果か、当時実測偏差の1/2程度であることから高潮数値計算法への新たな問題を提起したと思われる。その原因としては、黒潮の影響が介入

したためか、あるいは波浪による wave set-up が影響したものかが考えられる。一方、伊勢湾台風につけては、未曾有の災害をもたらし、わが国で初めて高潮の数値シミュレーションが適用された高潮である。ただちにかかわらず、その後の研究には進展がみられない。以下では、前述した未知定数を従来用ひられておりるものと同様に与えた場合の両高潮の追算結果を示し、高潮数値計算法につけて若干の考察を行う。

### 1) 土佐湾の高潮計算 図1に計算領域および図2に布崎、桂浜における追算結果を示す。

図から明らかのように、3モデルの結果とともに、従来と同様、佐賀町での観測点の偏差  $235\text{ cm}$  と比べるとかなり小さく、ほぼ  $1/4$  になつていい。このように小さな偏差となった最大の要因としては、 $\Delta X = 3\text{ km}$  のあらわきさみ幅を用いたため、土佐湾の地形特性（水深  $1000\text{ m}$  ～数  $m$  まで）をモデルに十分再現さへしない長が考えられる。すなはち、沿岸の水位変（観測点に対応）での平均水深が  $20\sim50\text{ m}$  となるため、数値計算によつては吹き寄せ効果が過小評価されていふと考へられる。このために、このような領域における高潮の正確な追算には、沿岸付近の地形特性をより粗く再現する狭領域の設定と、広領域の結合計算が必要である。

### 2) 伊勢湾の高潮計算 伊勢湾につけては、図3および4に示すように、空間寸法 $\Delta Z = 1\text{ km}$ および $\Delta Z = 250\text{ m}$ の広領域と狭領域との分割を行つた。

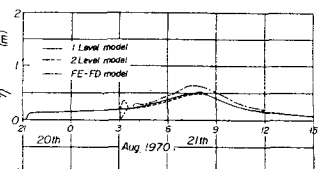
狭領域は常滑以北を対象として、河口および名古屋湾の地形特性が十分に再現されるよう考慮してある。なお、地形は昭和39年当時のものを用いており、高潮防波堤および前2,3区の埋立工事が行われていい点で、伊勢湾台風時のものとは若干異つていい。計算は計算時間の都合上、1レベルモデルだけを対象とし、広領域で  $18\text{ hr}$ 、狭領域では  $4\text{ hr}$  分の計算を行つた。図4,5および6に計算結果の一例を示す。これらの図から明らかのように、狭領域における計算結果は、広領域のそれ（図4）に比べて、常滑と四日市との結果が示されていいよりはかなり大きくなつてあり、名古屋港（図3(b)のホイット5）では、○—○で示した実測偏差にほぼ対応していい。また、流況からみた特長のひとつとしては、高潮時に伊勢湾と三河湾との海水交流がほとんど無くなることが挙げられる。

### 4. 結語 伊勢湾における追算結果にみられるように、

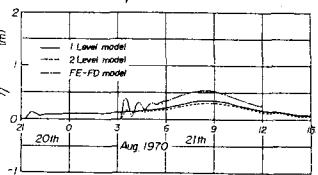
領域の細分化によって1レベルモデルによつても、高潮の数値計算精度を向上させることができることが明らかになつた。今後はこの方法を土佐湾ににおける7010号に適用していきとともに、各数値モデルにおける未知定数の決定を行うことにより、モデルの特性を明確にせり、より高精度の高潮数値シミュレーションモデルを確立することが可能であると考えられる。



図1 土佐湾の計算領域

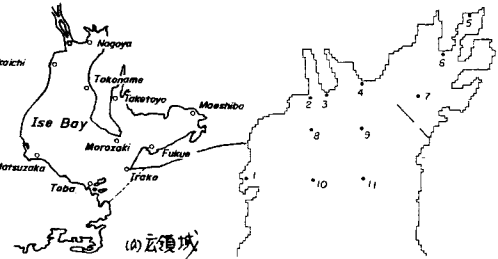


(a) 布崎

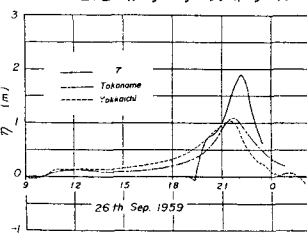


(b) 桂浜

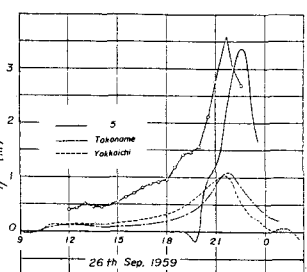
図2 土佐湾での追算結果



(a) 広領域



(a) ホイット7



(b) ホイット5 (名古屋港)

○—○ 実測値

図4 伊勢湾での追算結果

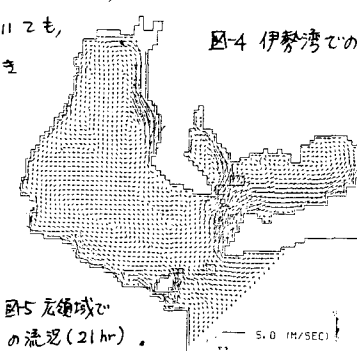


図5 狹領域での流況(21hr)

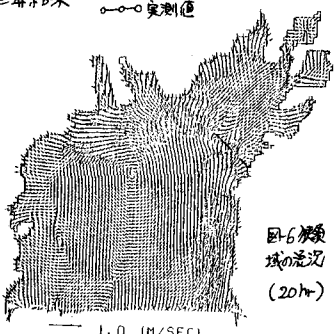


図6 狹領域の流況(20hr)